УДК 531.761

ОСОБЕННОСТИ РЕАЛИЗАЦИИ ВРЕМЯ-ЦИФРОВЫХ ПРЕОБРАЗОВАТЕЛЕЙ НА БАЗЕ ПРОГРАММИРУМЫХ ЛОГИЧЕСКИХ ИНТЕГРАЛЬНЫХ СХЕМ

(обзор)

© 2024 г. Е. Ю. Шелковников^а. К. А. Шляхтин^a, *

^аИнститут механики Удмуртского федерального исследовательского центра Российской академии наук 426067, Россия, Ижевск, ул. Татьяны Барамзиной, 34

*e-mail: shlyahtink@udman.ru

Поступила в редакцию 21.12.2023 г. После доработки 25.04.2024 г. Принята к публикации 29.05.2024 г.

Цель данного обзора заключается в том, чтобы дать исследователям, занимающимся разработкой время-цифровых преобразователей (ВЦП) на базе программируемых логических интегральных схем (ПЛИС), наиболее полное представление о существующих подходах и методах реализации таких преобразователей. В работе приведены наиболее значимые характеристики ВЦП и описаны основные методы измерения временных интервалов, применяемые при реализации ВЦП на ПЛИС. Обозначены основные проблемы, возникающие при разработке таких схем. Кратко рассмотрены элементы ПЛИС, на которых реализуется ВЦП, и процедура калибровки ВЦП. Проанализированы подходы, применяемые для повышения разрешения и снижения нелинейности ВЦП на ПЛИС. Рассмотрены различные структуры шифраторов, применяемых в ВЦП. По результатам проведенного анализа даны рекомендации по разработке ВЦП на базе ПЛИС.

DOI: 10.31857/S0032816224050018 EDN: EUHPZQ

1. ВВЕДЕНИЕ

Время-цифровые преобразователи (ВЦП), предназначенные для измерения длительности временных интервалов, широко применяются в различных областях науки и техники [1], таких как физика элементарных частиц и высоких энергий [2, 3], измерение времени пролета [4, 5] и реализация цифровых блоков фазовой автоподстройки частоты (ФАПЧ) [6, 7]. Коммерчески доступные микросхемы ВЦП имеют заданные производителем характеристики (разрешение, количество каналов и др.), которые зачастую не удовлетворяют требованиям решаемой задачи. Для решения этой проблемы реализуют собственные ВЦП на базе интегральных схем специального назначения (ИССН) или на базе программируемых логических

интегральных схем (ПЛИС). Главными преимуществами разработки на базе ИССН являются высокая точность получаемых ВЦП [8] и низкая нелинейность [9]. Однако высокая стоимость, низкая доступность и большое время разработки ограничивают применение данного способа реализации. Разработка на базе ПЛИС имеет значительно более низкую стоимость по сравнению с ИССН, а также требует меньше временных и трудовых затрат. При этом гибкость настройки структуры ПЛИС позволяет реализовывать ВЦП, ориентированные на конкретную задачу. Кроме того, современные ПЛИС практически достигли производительности ИССН [10]. Поэтому в настоящее время активно разрабатываются методы реализации ВЦП на базе ПЛИС, которым будет посвящен данный обзор.

1.1. Основные характеристики ВЦП

Ниже приведены наиболее важные характеристики ВЦП.

• Разрядность k — количество битов в выходном коде ВЦП. Эта величина определяет количество уровней квантования временного интервала

$$N=2^k$$

• Разрешение (единица младшего разряда (ЕМР)) т — изменение измеряемого временного интервала, соответствующее изменению выходного цифрового кода на 1. Вследствие неидеальности ВЦП ЕМР, соответствующая каждому значению выходного кода, различна. За единицу младшего разряда ВЦП принимается усредненная ЕМР [11]:

$$\tau = \frac{1}{N} \sum_{i=1}^{N} \tau_i = \frac{T}{N}.$$

где τ_i — EMP, соответствующая i-му выходному коду, T — максимальный измеряемый временной интервал.

• Среднеквадратическое отклонение (СКО) σ результатов измерений определяет погрешность ВЦП и рассчитывается по результатам M измерений фиксированного временного интервала:

$$\sigma = \sqrt{\frac{1}{M} \sum_{j=1}^{M} \left(t_j - \overline{t} \right)^2} .$$

• Дифференциальная нелинейность (ДНЛ) определяет отклонение реальной ЕМР, соответствующей каждому значению выходного кода, от идеального значения, в качестве которого принимается среднее значение ЕМР т [12],

$$t_{DNL,i} = \tau_i - \tau$$
.

Обычно ДНЛ выражается в относительных единицах

$$t_{DNL,i} = \frac{\tau_i - \tau}{\tau}.$$

Для описания дифференциальной нелинейности ВЦП могут приводиться различные показатели:

- среднее квадратическое $t_{DNL,\sigma}$ значений $t_{DNL,i}$;
- минимальное и максимальное $\begin{bmatrix} t_{DNL,\,MIN}, t_{DNL,\,MAX} \end{bmatrix}$ значений $t_{DNL,\,i};$
- экстремальное значение (наибольшее по модулю) $t_{DNL,\,EXT}$ значений $t_{DNL,\,i}$.

• Интегральная нелинейность (ИНЛ) описывает изгиб характеристики преобразования ВЦП:

$$t_{INL, i} = \sum_{j=1}^{i} t_{DNL, j}.$$

Для описания интегральной нелинейности ВЦП могут приводиться различные показатели, аналогичные показателям для дифференциальной нелинейности.

- Диапазон измерений задается минимальным t_{MIN} и максимальным t_{MAX} измеряемыми временными интервалами и определяется методом измерения.
- Минимальное время между импульсами ("мертвое" время) на входе ВЦП это минимальное время после прихода предыдущего импульса, через которое ВЦП может принять следующий импульс.
- Максимальная частота преобразования ограничивает среднюю частоту прихода импульсов.

1.2. Методы измерения временных интервалов

В качестве измеряемого ВЦП временного интервала обычно используется интервал между фронтом импульса на канале Старт и фронтом импульса на канале Стоп. Существуют различные методы измерения временных интервалов. Простейшим методом время-цифрового преобразования является метод последовательного счета, основанный на подсчете количества импульсов тактового сигнала, возникших за измеряемый интервал времени. Точность данного метода ограничена тактовой частотой и недостаточна для многих задач. В настоящее время разработан ряд аналоговых и цифровых методов, позволяющих измерять временные интервалы с точностью до единиц-десятков пикосекунд и менее 1 пс [13, 14].

Цифровые методы в отличие от аналоговых реализуются с применением технологий производства современных цифровых интегральных микросхем, имеют бо́льшую стабильность и скорость преобразования [13]. Кроме того, цифровые методы измерения временных интервалов могут быть реализованы на базе ПЛИС.

Основными цифровыми методами измерения временных интервалов являются:

- 1) нониусный метод с использованием двух генераторов;
 - 2) метод на основе линии задержки;
- 3) нониусный метод с использованием двух линий задержки.

1.2.1. Нониусный метод с использованием двух генераторов. Нониусный метод измерения временных интервалов [15] основан на применении двух генераторов тактовых сигналов с частотами $f_1 = 1/T_1$ и $f_2 = 1/T_2$ (рис. 1). Периоды генераторов различаются на небольшую величину $\tau = T_1 - T_2$, которая определяет разрешение ВЦП. Генераторы 1 и 2 запускаются по фронтам импульсов на каналах *Старт* и *Стоп* соответственно. Количество импульсов n_1 и n_2 с выходов генераторов подсчитывается счетчиками. Генерация останавливается, когда схема совпадения обнаруживает совпадение фронтов импульсов генераторов. Измеренный временной интервал вычисляется по формуле

$$t = (n_1 - n_2)T_1 - n_2\tau.$$

Преимуществом данного метода является возможность получения высокого разрешения путем уменьшения значения τ . Недостатком является большое время преобразования, равное в худшем случае T_1T_2/τ [13], которое растет при уменьшении τ .

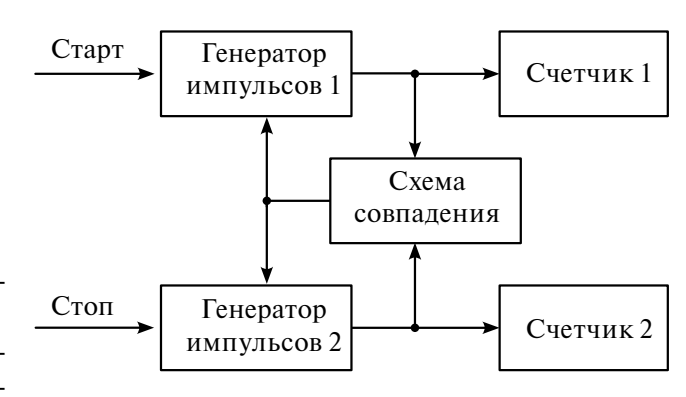


Рис. 1. Схема ВЦП, основанного на нониусном метоле

1.2.2. Метод на основе линии задержки.

Во время-цифровых преобразователях, основанных на линии задержки (рис. 2а), сигнал *Старт* поступает на набор из *N* последовательно соединенных элементов задержки (ЭЗ), составляющих линию задержки (ЛЗ) [16]. В момент прихода фронта сигнала *Стоп* состояние ЛЗ фиксируется в триггерах. Разрешение ВЦП, основанных на данном методе, определяется задержкой т одного элемента линии задержки. Длительность измеряемого временного интервала определяется по количеству *п* активированных триггеров (с учетом смещения на половину ЕМР):

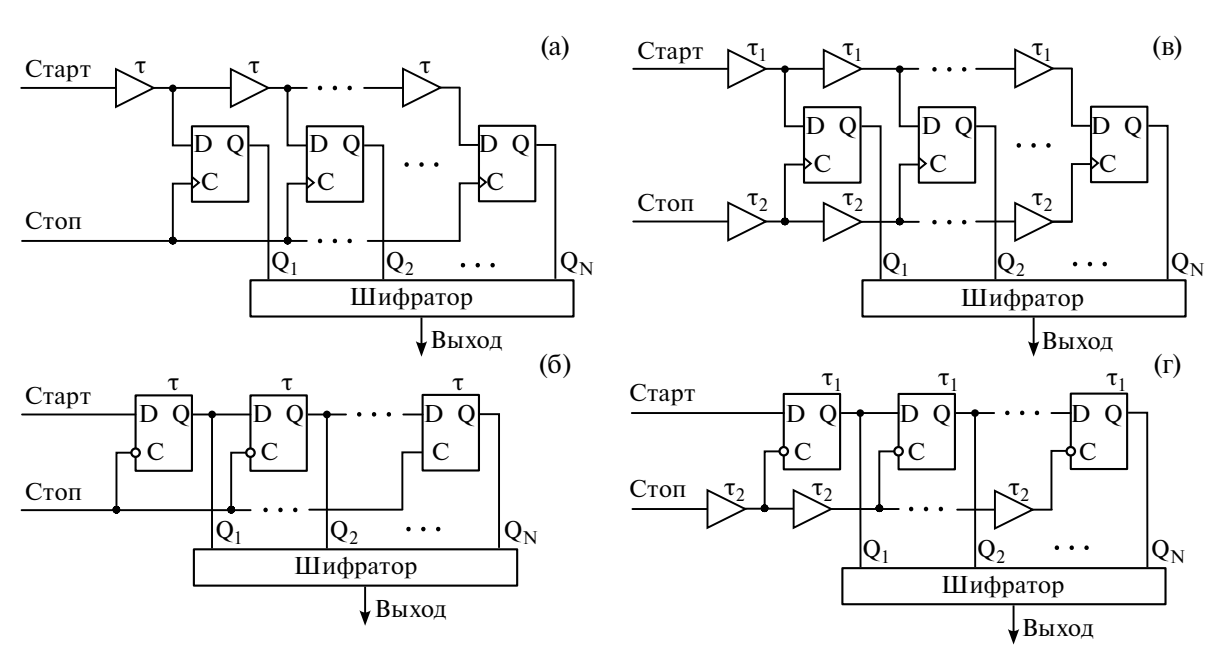


Рис. 2. Схемы ВЦП, основанные на линии задержки: \mathbf{a} — метод, основанной на линии из ЭЗ и синхронных D-триггеров; $\mathbf{6}$ — метод, основанной на линии задержки из D-триггеров со статическим входом C; \mathbf{g} — нониусный метод с использованием двух линий задержки; \mathbf{r} — нониусный метод с использованием линии задержки из D-триггеров со статическим входом C.

$$t = (n+1/2)\tau.$$

Значение на выходах линии задержки, представляющее собой n единиц и следующие за ними N-n нулей, называемое термометрическим кодом, преобразуется шифратором в десятичное значение, равное n. Максимальный измеряемый временной интервал равен $(N+1/2)\tau$, таким образом для его повышения необходимо увеличивать длину линии задержки (количество 93 в ней).

Другой вариант реализации ВЦП на основе линии задержки представлен на рис. 26. В данной схеме роль и ЭЗ, и триггера выполняет Dтриггер со статическим входом С. Задержка определяется временем прохождения сигнала через триггер с входа D на выход Q при значении 0 на входе *Стоп* (1 на входе С триггера). В момент прихода фронта сигнала на вход *Стоп* значение на входах С триггеров меняется на 0 и состояние ЛЗ фиксируется.

Метод реализации ВЦП, основанный на линии задержки, имеет высокую скорость преобразования, но его разрешение ограничено величиной τ .

1.2.3. Нониусный метод с использованием двух линий задержки. Нониусный метод с использованием двух линий задержки (рис. 2в) является комбинацией двух предыдущих методов [17]. Сигнал *Старт* подается на первую ЛЗ, состоящую из элементов с задержкой τ_1 . Сигнал *Стоп* подается на вторую ЛЗ, состоящую

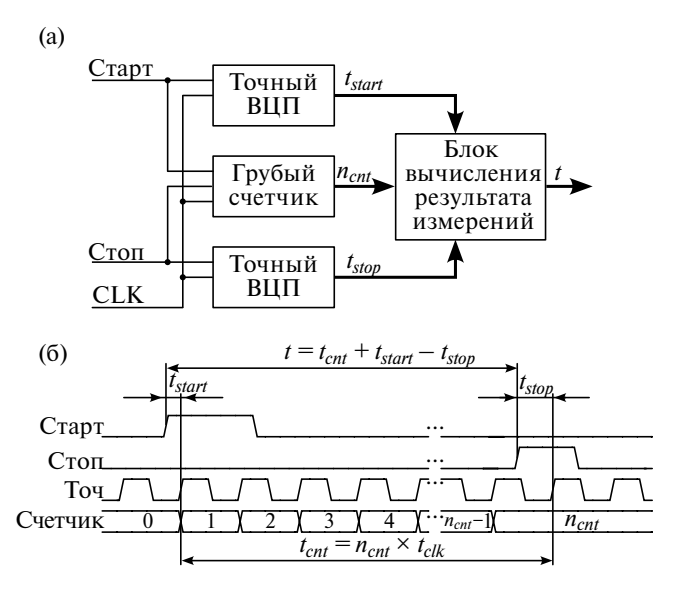


Рис. 3. Метод Натта: **a** — схема ВЦП; **б** — временные диаграммы.

из элементов с задержкой τ_2 , которая меньше τ_1 на небольшое значение

$$\tau=\tau_1-\tau_2\,,$$

которое определяет разрешение ВЦП. Выходы ЭЗ первой линии задержки подключаются к входам триггеров D, а второй — к входам С. Длительность измеряемого временного интервала определяется по количеству n активированных триггеров:

$$t = (n+1/2)\tau.$$

Другой вариант реализации данного метода показан на рис. 2 г. Роль одной из линий задержки выполняют D-триггеры со статическим входом C.

Нониусный метод с использованием двух линий задержки позволяет достигать более высокого разрешения измерения временных интервалов, чем простой метод на основе линии задержки, однако требует использования большего количества ЭЗ.

Максимальная длительность измеряемых временных интервалов описанных выше методов ограничена длинной линии задержки и обычно составляет менее 10 нс, что может быть недостаточно для многих применений ВЦП. С целью увеличения диапазона измеряемых временных интервалов применяется метод на базе двухступенчатой схемы преобразования, называемый методом интерполяции Натта [18] (рис. 3а), который заключается в следующем. Методом последовательного счета выполняется грубое измерение временного интервала с точностью до длительности t_{clk} периода тактового сигнала. Для повышения разрешения применяется один из более точных методов, такой как метод на основе линии задержки. Двумя блоками точного измерения времени измеряются длительности t_{start} и t_{stop} интервалов от фронтов сигналов на каналах Старт и Стоп соответственно до следующего за ними фронта тактового сигнала. Результат измерения длительности временного интервала определяется по формуле (рис. 3б)

$$t = n_{cnt} \cdot t_{clk} + t_{start} - t_{stop} ,$$

где n_{cnt} — значение, зафиксированное счетчиком.

1.3. Калибровка ВЦП

Величина задержки на ЭЗ внутри ВЦП зависит от напряжения питания и температуры и может изменяться во времени, что приводит к появлению систематической ошибки в результатах измерения времени [19]. Для компенсации данных воздействий и получения корректных результатов измерений необходимо во время работы ВЦП периодически выполнять его калибровку.

Простейший метод калибровки ВЦП состоит в регистрации двух фронтов тактового сигнала эталонной частоты линией задержки [20]. Скорректированное значение EMP определяется по формуле

$$\tau = \frac{t_{clk}}{n_2 - n_1} \,,$$

где n_2 и n_1 — номера элементов линии задержки, соответствующие фронтам тактового сигнала, t_{clk} — период тактового сигнала эталонной частоты. Такая калибровка выполняется быстро, однако позволяет корректировать только среднюю задержку, но не задержку каждого элемента.

Статистическая калибровка позволяет определять задержку каждого элемента линии [21]. Данный метод калибровки позволяет снижать нелинейность ВЦП. На время калибровки вход ВЦП подключается к источнику равномерно распределенных случайных событий. На практике вместо такого источника обычно применяется генератор тактового сигнала, имеющий период, некоррелированный с периодом t_{clk} тактового сигнала ВЦП [13]. В процессе калибровки ВЦП регистрирует M фронтов сигнала, и строится гистограмма распределения количества n_i фронтов сигнала, зарегистрированных на каждом і-м выходе линии задержки ВЦП. Задержка на і-м ЭЗ определяется по формуле [22, 23]

$$\tau_i' = n_i \frac{t_{clk}}{M} \, .$$

Столбцы гистограммы называются бинами, а задержка элемента — шириной бина. Метод статистической калибровки также называется калибровкой бинов. Скорректированная величина временного интервала при регистрации переключения на i-м выходе линии задержки ВЦП определяется по формуле

$$t_i' = \frac{\tau_i'}{2} + \sum_{j=1}^{i-1} \tau_j'$$
.

Расчет t_i может выполняться как с помощью схемы на ПЛИС, так и процессором, синтезированным на ПЛИС, либо входящим в состав системы на кристалле [24]. Полученный по результатам калибровки массив значений t_i сохраняется в памяти и затем используется для определения величины измеряемого временного интервала по значению i на выходе шифратора.

2. РЕАЛИЗАЦИЯ ВЦП НА ПЛИС

2.1. Архитектура ПЛИС

Коммерчески доступные ПЛИС создаются с ориентацией на решение наиболее распространенных задач и содержат блоки, выполняющие наиболее базовые задачи: блоки выполнения заданных логических функций, сумматоры и триггеры. При реализации ВЦП на ПЛИС для достижения наилучших характеристик необходимо разрабатывать подходы, учитывающие существующие конфигурации ПЛИС. Сегодня существует множество фирм по всему миру, которые производят ПЛИС. Однако наиболее доступными и наиболее часто используемыми являются ПЛИС фирм Xilinx и Intel (Altera).

Базовыми элементами, из которых состоит ПЛИС, являются конфигурируемые логические блоки (КЛБ). Современные ПЛИС включают в себя от нескольких тысяч до миллионов КЛБ. Конфигурируемый логический блок обычно (например, в ПЛИС Intel и Xilinx) включает в себя: таблицу поиска (look-up-table, LUT), вычисляющую произвольную логическую функцию нескольких переменных, сумматоры, логику переноса разряда, триггеры и множество мультиплексоров для конфигурирования функций КЛБ. КЛБ объединены в столбцы. Соседние КЛБ в столбце соединены цепью переноса разряда. ПЛИС разделена на несколько тактовых регионов, внутри которых смещение тактового сигнала мало.

Важнейшей проблемой при реализации ВЦП на ПЛИС является построение линии задержки, так как такая структура в явном виде отсутствует в архитектуре ПЛИС.

2.2. Первые реализации ВЦП на ПЛИС

Первая реализация ВЦП на ПЛИС описана в статье [19] 1997 года. В работе использовалась ПЛИС на основе плавких антиперемычек pASIC фирмы QuickLogic, изготовленная по техпроцессу 0.65 мкм. Реализован нониусный метод с использованием линии задержки на основе **D-триггеров со статическим входом С. Достиг**нуто разрешение 200 пс. Позже авторами был реализован нониусный метод с использованием двух ЛЗ и было достигнуто разрешение 100 пс за счет реализации новой архитектуры линии задержки и использования ПЛИС pASIC2 с улучшенным техпроцессом [25]. Кроме того, благодаря реализации метода Натта максимальный измеряемый временной интервал был увеличен с 10 нс до 43 с.

В статье [26] предложено использовать матрицу элементов задержки. Строка матрицы представляет собой линию задержки, состоящую из D-триггеров со статическим входом С. Входной сигнал подается на первую строку матрицы. На каждую последующую строку сигнал приходит с предыдущей строки с задержкой, превышающей суммарную задержку строки. Декодирование фронта сигнала происходит в каждой строке по отдельности, что позволяет за один такт выполнять измерение множества временных интервалов. Минимальное время между импульсами, которое может измерять ВЦП, уменьшается в количество раз, равное количеству строк матрицы. В работе [26] на ПЛИС XCV300 семейства Virtex фирмы Xilinx реализованы две матрицы с 6 строками с тактовыми сигналами, сдвинутыми на 180°. При частоте тактового сигнала 25 МГц минимальное время между фронтами входных сигналов составило 2.5 нс.

Реализации ВЦП на основе линии задержки предложены в ряде работ отечественных авторов [27, 28]. В работе [27] при реализации ВЦП на ПЛИС Cyclone II фирмы Altera (Intel) получено разрешение 315 пс. В статье [28] ВЦП реализован на различных семействах ПЛИС фирмы Xilinx: на Spartan 6 получено разрешение 210 пс, на Artix-7 — 100 пс, на Kintex-7 и Virtex-7 — 50 пс.

В статье [20] предложено использовать в качестве линии задержки цепи, связывающие конфигурируемые логические блоки (КЛБ), такие как цепи переноса разряда сумматора, каскадные цепи, применяемые для увеличения

количества входов логической функции, реализуемой КЛБ. В таких цепях ЭЗ и линии передачи имеют низкое время задержки, что позволяет получить высокое разрешение ВЦП. Кроме того, они имеют регулярную структуру, что обеспечивает низкую нелинейность измерения. Благодаря этому данный подход стал основой последующих реализаций ВЦП на ПЛИС. Авторы работы [20] использовали каскадные цепи ПЛИС АСЕХ 1К фирмы Altera (Intel) для реализации метода на основе ЛЗ.

2.3. Элементы современных ПЛИС, применяемые для реализации линии задержки

Для реализации линии задержки на ПЛИС фирмы Xilinx серий 5 [29], 6 [30] и 7 [31] используются примитивы логики быстрого переноса CARRY4 (рис. 4а) [10], которые входят в состав КЛБ. Входной сигнал подается на вход CIN блока CARRY4 и передается через 5 мультиплексоров на выход COUT. Мультиплексоры выполняют функцию элементов задержки. Один из выходов S_i или C_i (i=0,...,3) подключается к триггеру, фиксирующему состояние элемента задержки по приходу тактового сигнала.

В ПЛИС Xilinx UltraScale и UltraScale+ используются примитивы CARRY8 (рис. 46), имеющие структуру, аналогичную CARRY4, но с удвоенным количеством ЭЗ [32,33]. Также стоит отметить, что в отличие от предыдущих серий, в UltraScale и UltraScale+ мультиплексоры для выбора выходов S или C отсутствуют, и в триггерах могут быть сохранены как 8 значений S, так и 8 значений C.

На ПЛИС фирмы Intel (Altera) линия задержки реализуется на основе цепи переноса разряда сумматоров (рис. 5). КЛБ включает 2 полных сумматора, выход каждого из которых может быть подключен к двум триггерам.

Также стоит отметить, что между элементами задержки в КЛБ, между соседними КЛБ и от элементов задержки до триггеров также присутствуют паразитные задержки сигнала в линиях передачи. Задержки на мультиплексорах и паразитные задержки не регламентируются точно производителем и могут различаться от элемента к элементу. Задержки между КЛБ значительно превышают задержки на ЭЗ, что приводит к появлению "ультрашироких бинов" ("ultra-wide bin") и увеличивает нелинейность ВЦП [34].

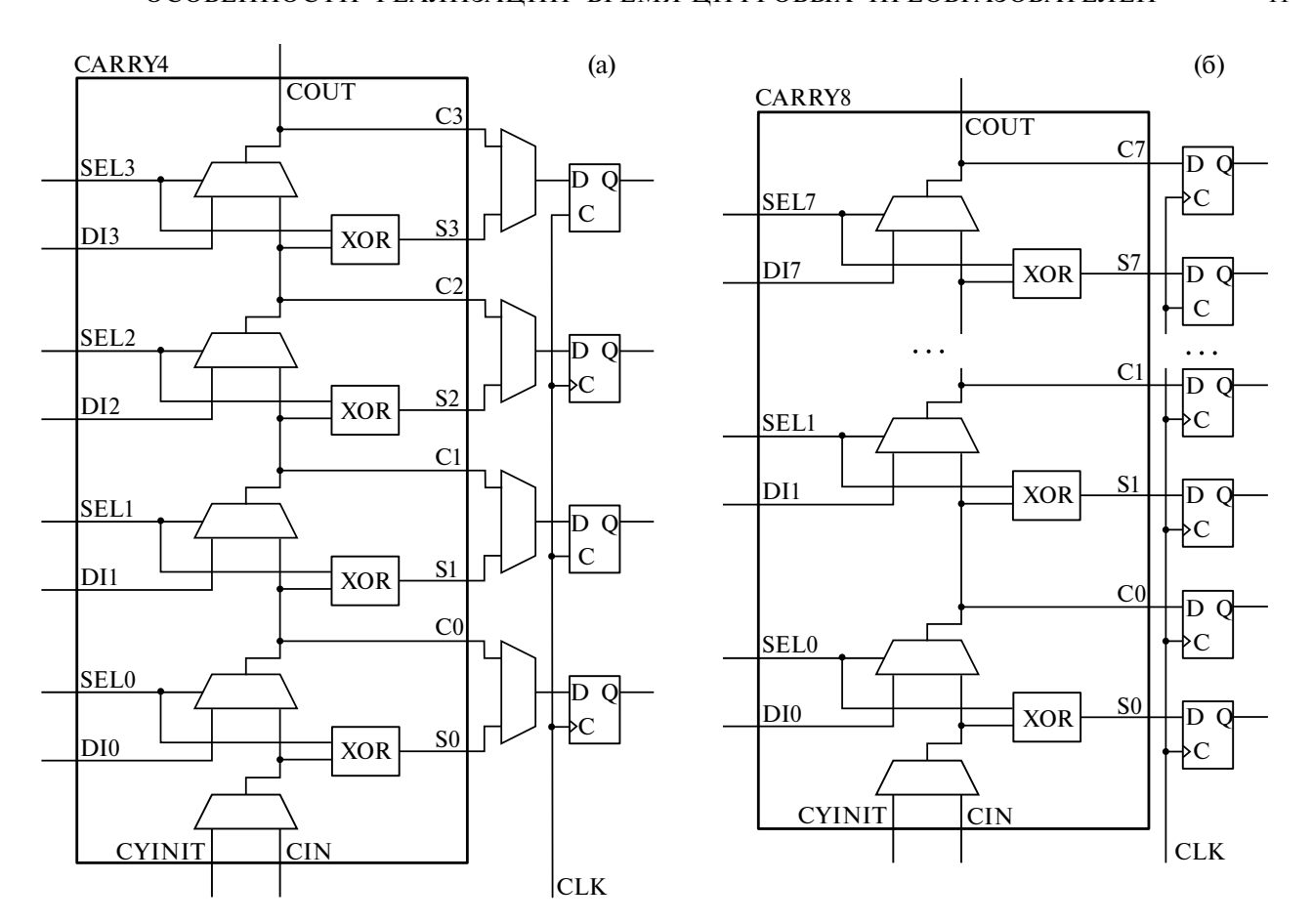


Рис. 4. Блоки ПЛИС фирмы Xilinx, на которых реализуется линия задержки: **a** – CARRY4, **б** – CARRY8.

Неравномерность распространения сигнала в линии задержки, неодновременность прихода тактового сигнала на триггеры и метастабильность приводят к появлению пузырьковой ошибки в термометрическом коде на выходе ЛЗ, реализованной на ПЛИС [35, 36]. В идеальном случае термометрический код представляет собой набор нулей и следующий за ним набор единиц (00...0011...11) или наоборот (11...1100...00). В реальной линии задержки вместо одного переключения с 0 на 1 или с 1 на 0 формируются случайные переключения в окрестности фронта сигнала (например, 00...001011011...11), называемые пузырьковой ошибкой.

Поскольку в структуре современных ПЛИС ЭЗ имеют примерно одинаковую задержку, отсутствуют средства для реализации двух линий с немного различающимися задержками. Поэтому нониусный метод, хоть и является более точным, не получил широкого распространения и основным методом реализации ВЦП на ПЛИС является метод на основе линии задержки.

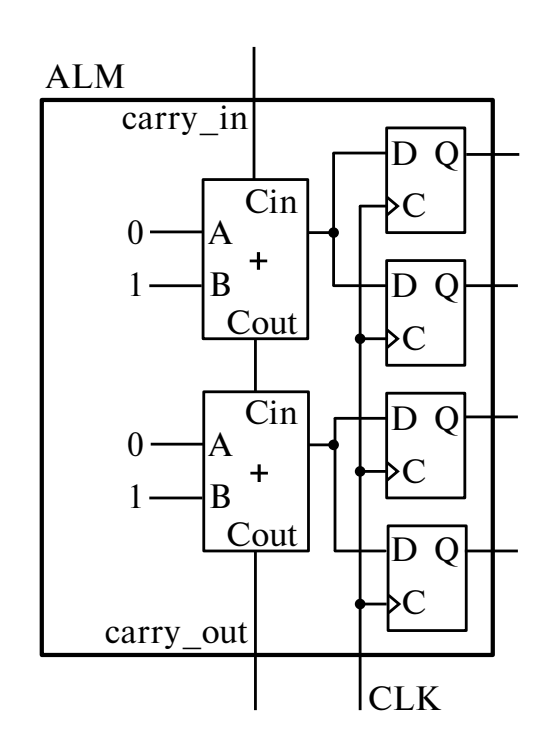


Рис. 5. Цепь переноса разряда сумматоров ПЛИС фирмы Intel (Altera), на которой реализуется линия задержки.

В качестве выходов линии задержки могут использоваться выходы S или C блока CARRY4. В статье [11] рассматривается работа ВЦП на основе различных комбинаций выходов, называемых паттернами и обозначаемых кодами. Например, при использовании паттерна с кодом SCSC выход ЛЗ берется с выходов S3, C2, S1, C0. Всего существует $2^4 = 16$ паттернов. Авторами определены оптимальные фронты сигналов и паттерны для различных серий ПЛИС Xilinx: передний фронт, SCSC для Kintex-7; задний фронт, SCSC для Virtex-6; задний фронт, SCSS для Spartan-6.

В статье [37] представлен метод, названный авторами методом адаптивного понижения разрешения, который позволяет снизить нелинейность ВЦП. Набор паттернов, рассматриваемых в статье [11], расширен путем пропуска некоторых выходов CARRY4, обозначаемого в коде паттерна буквой N. Таким образом можно получить $3^4 - 1 = 80$ патернов (вырожденный паттерн NNNN исключается). Показано, что наилучшее разрешение достигается при использовании всех четырех выходов CARRY4, а наименьшая нелинейность — при применении паттернов с 3 или 2 выходами, например CCCN, CNCN, NSCN.

2.4. Способы повышения разрешения ВЦП на ПЛИС

Разрешение ВЦП на основе линии задержки ограничено временем задержки на одном элементе линии. Одним из методов преодоления данного ограничения является реализация многократных измерений путем увеличения количества ЛЗ, которым посвящен ряд работ. В статье [38] описан метод повышения разрешения ВЦП в 2 раза путем добавления второй линии задержки, сигнал на которую подается со смещением на время, равное половине задержки на элементе. Предложенный метод позволил получить разрешение 0.5 нс для ВЦП с исходным разрешением 1 нс. В статье [39] предложено использовать множество линий задержки для организации многократных измерений с целью повышения разрешения ВЦП путем усреднения результатов измерений, полученных в отдельных линиях задержки. При использовании 10 ЛЗ со средней задержкой элемента 27 пс реализован ВЦП с разрешением 10 пс. В работе [40] предложен новый подход к реализации ВЦП с параллельными линиями

задержки, при котором в отличие от предыдущей работы происходит не усреднение результатов измерений в линиях, а объединением выходов линий в одну эквивалентную линию задержки следующим образом. В каждой линии путем калибровки определяется время прихода сигнала на каждый элемент. Выходы линий задержки объединяются в эквивалентную ЛЗ путем сортировки полученных значений времени. Благодаря тому, что задержки элементов линий имеют случайный характер, при реализации 16 линий задержки в работе [40] достигнуто разрешение 1.14 пс, что примерно в 16 раз меньше разрешения одиночной линии задержки (18.38 пс). В статье приведены графики разрешения ВЦП и СКО результатов измерений при различном количестве линий задержки. Показано, что увеличение количества линий более 8 не дает существенного прироста разрешения и уменьшения СКО. Для уменьшения длины ЛЗ из исходного тактового сигнала с частотой 500 МГц с использованием элементов задержки и инвертора генерируется четыре тактовых сигнала, сдвинутых друг относительно друга примерно на 90°. Фиксация состояния линии задержки происходит по фронту того из 4 тактовых сигналов, который возникает сразу после фронта входного сигнала.

В статье [34] предложен принципиально новый подход для увеличения разрешения ВЦП. Вместо увеличения количества линий задержки, на вход ЛЗ подается последовательность с несколькими передними и задними фронтами сигналов. Таким образом, реализуются многократные измерения с использованием одной линии задержки, что позволяет преодолеть ограничение разрешения, накладываемое элементом задержки, снизить дифференциальную нелинейность ВЦП и решить проблему сверхбольших задержек на границах блоков логических элементов. Такая архитектура получила название Wave Union ВЦП и широко применяется в современных разработках. Для генерации последовательности предложены два устройства [26]:

- 1) типа А с конечной переходной характеристикой;
- 2) типа В с бесконечной переходной характери стикой.

В Wave Union ВЦП типа A (WU A) в первом блоке, содержащем 16 логических элементов,

формируется последовательность, имеющая 1 передний и 2 задних фронта (1...10...01...10...0). По приходу фронта сигнала на вход ВЦП данная последовательность передается в линию задержки, состоящую из 3 блоков (48 элементов), следующих за первым. Результат измерения времени определяется по сумме номеров двух элементов, в которых зафиксированы задние фронты последовательности. Таким образом, реализуются многократные измерения, которые позволяют повысить точность ВЦП.

В Wave Union ВЦП типа В (WU В) для формирования последовательности применяется генератор на логическом элементе NAND с обратной связью через буфер задержки. Период генератора примерно равен периоду опорной частоты. До прихода импульса на вход ВЦП, на выходе генератора зафиксировано значение 1. После прихода фронта сигнала на вход генератор начинает формировать импульсы с периодом, заданным буфером задержки. Сигналы с выхода генератора передаются в линию задержки, состоящую из 48 элементов. Расчет результата измерения времени выполняется на основе состояний ЛЗ в течение 16 тактов опорной частоты, за счет чего достигается усреднение по 16 результатам измерений, однако получение результата измерения также требует в 16 раз больше времени.

Рассмотренный метод Wave Union стал базовым для множества последующих разработок в этой области. В работе [8] рассматривается возможность реализации на ПЛИС ВЦП с большим количеством каналов и высокой пропускной способностью. Применяется архитектура Wave Union типа A. Отмечается, что основные ограничения на максимальную тактовую частоту ВЦП накладываются шифратором и блоком калибровки. Высокая тактовая частота позволяет использовать более короткую линию задержки (при использовании метода Натта) и соответственно уменьшает сложность всей схемы ВЦП. На ПЛИС XC7K325T-2FFG900I семейства Kintex-7 фирмы Xilinx, содержащей 326080 КЛБ, реализован 128-канальный ВЦП с тактовой частотой (скоростью преобразования) 710 МГц.

В статье [41] предложен метод децимации бинов с целью уменьшения нелинейности ВЦП. Данный метод состоит в выравнивании задержки на элементах путем их группировки. Сначала определяются величины задержки на элементах

(ширины бинов) с использованием стандартной процедуры, применяемой при калибровке бинов, и выполняется перестановка бинов (см. ниже разд. 2.5). Далее задаются количество бинов децимированной линии задержки и соответствующие идеальные задержки элементов. Определяются выходы элементов исходной ЛЗ, которые наиболее точно соответствуют идеальным. Описанные расчеты выполняются программой МАТLAB. Затем синтезируется децимированный ВЦП на основе выбранных элементов задержки. Данную процедуру необходимо выполнять по отдельности для каждого канала ВЦП, а также для каждой ПЛИС, на которой реализуется ВЦП. Децимация позволяет не выполнять калибровку бинов во время работы ВЦП, обеспечивая сравнимую погрешность. Благодаря этому снижается количество используемых ресурсов ПЛИС, в частности, не требуется использование встроенной памяти. Однако при этом снижается разрешение ВЦП.

В работе [42] реализуется ВЦП на ПЛИС семейства Kintex UltraScale фирмы Xilinx. Показано, что для ПЛИС UltraScale важной проблемой являются пузырьковые ошибки. Для снижения влияния пузырьковых ошибок необходимо выполнять перестановку бинов (см. ниже разд. 2.5). Отмечается, что на ПЛИС UltraScale невозможно эффективно реализовать архитектуру Wave Union типа A, так как задержки элементов при переключении из 0 в 1 и из 1 в 0 значительно различаются и при оптимизации (перестановке бинов) линии задержки для работы по переднему фронту она становится неработоспособной по заднему фронту. Для снижения погрешности применяется метод децимации бинов. Аналогичный ВЦП с применением калибровки бинов представлен в работе [43]. Малые задержки на элементах ПЛИС UltraScale позволяют добиться высокого разрешения ВЦП.

Работа [44] развивает предложенную в [8] идею подачи на линию задержки последовательности, состоящей из нескольких фронтов, путем генерации сигнала, состоящего не из двух, а из большего количества фронтов. Показано, что разрешение ВЦП улучшается с ростом количества фронтов последовательности, однако при их количестве большем 6 разрешение изменяется слабо. Далее в работе [44] исследовался ВЦП с 6 фронтами последовательности, формируемыми в ЛЗ аналогично схеме Wave Union типа A [8].

В статье [45] представлен метод повышения разрешения ВЦП, комбинирующий метод, реализующий множество параллельных линий задержки [40] и подачу на вход ЛЗ последовательности с несколькими фронтами [44]. При реализации трех линий задержки, на которые подается последовательность с 6 фронтами, получено разрешение 0.92 пс. В работе [46] реализована двухступенчатая схема, аналогичная описанной в работе [40], для расширения диапазона измеряемых временных интервалов. Подобная архитектура с 4 параллельными ЛЗ WU A с двумя фронтами, названная авторами SuperWU (Super Wave Union), представлена в статье [47].

В работе [48] проводится исследование различных методов повышения разрешения ВЦП (WU A, SuperWU, RippleWU, WU B) и их сравнение. Метод RippleWU, как и WU B, использует генератор импульсов для формирования последовательности, однако в отличие от WU В, частота генератора значительно превышает тактовую частоту ВЦП и преобразование происходит за один такт. Исследованы разрешение и погрешность ВЦП, реализующего метод SuperWU, при различном количестве линий задержки. При реализации SuperWU с одной, двумя и четырьмя ЛЗ на Xilinx Virtex-5 показано, что разрешение улучшается при увеличении количества линий задержки, а погрешность достигает минимального значения 6.5 пс при двух ЛЗ. При реализации SuperWU с количеством линий задержки от 1 до 10 на Xilinx Artix-7 также демонстрируется повышение разрешения с ростом количества ЛЗ, а погрешность достигает минимального значения при 6 линиях. Для метода RippleWU наилучшие показатели получены для последовательности из 6 фронтов. Отмечается, что WU В имеет большую ошибку квантования по сравнению с RippleWU.

В статье [49] метод SuperWU применен для создания ВЦП на базе ПЛИС Xilinx Kintex UltraScale. Путем реализации 8 параллельных линий задержки достигнуто разрешение 0.3 пс. При этом выходы S и С элементов CARRY8 формируют две отдельные ЛЗ. Для решения проблемы пузырьковых ошибок линии задержки из 512 элементов разбиваются на шестнадцать децимированных ЛЗ, состоящих из 32 элементов. В децимированных линиях задержки отсутствуют пузырьковые ошибки. Термометрический код, содержащийся в каждой

децимированной ЛЗ, преобразуется шифратором в позиционный 5-битовый код. Итоговый выходной код, соответствующий состоянию исходной линии задержки из 512 элементов, формируется путем суммирования шестнадцати 5-битовых кодов.

В статье [50] представлен ВЦП на ПЛИС Xilinx UltraScale+. Для повышения разрешения реализованы несколько параллельных линий задержки, а для повышения линейности применяется децимация бинов на основе гистограммы. Предложенный метод децимации выполняется на ПЛИС и в отличие от метода, описанного в работе [41], позволяет избежать многократного повторения синтеза и измерения характеристик ВЦП.

В работе [51] на четыре параллельные линии задержки подаются тактовые сигналы со сдвигом на 90°. Фиксация состояния ЛЗ в триггерах происходит по фронту входного сигнала. При реализации ВЦП на ПЛИС Altera (Intel) Cyclone V достигнуто разрешение 1.56 пс.

2.5. Шифратор

Важной проблемой при разработке шифратора ВЦП является наличие в термометрическом коде на выходах линии задержки пузырьковых ошибок. Для реализации шифраторов в ВЦП применяются архитектуры, аналогичные используемым в параллельных аналого-цифровых преобразователях (АЦП) [52].

Базовым методом борьбы с пузырьковыми ошибками является перестановка бинов [8]. Местам возникновения пузырьковой ошибки в линии задержки соответствуют бины нулевой ширины на гистограмме при калибровке. Для коррекции пузырьковой ошибки выход ЛЗ, соответствующий бину нулевой ширины, меняется местами со следующим за ним выходом в термометрическом коде. Процедура перестановка бинов в работе [8] осуществляется для каждого канала ВЦП программой на ПК, и затем выполняется синтез ВЦП на ПЛИС с полученной таблицей связей. Другая процедура перестановки бинов описана в [42, 43]. В процессе калибровки при получении термометрического кода после каждого измерения программа на ПК выполняла корректировку таблицы соединений между выходами линии задержки и битами термометрического кода в ПЛИС.

Данная процедура выполнялась 60 тысяч раз и обеспечивала практически полное отсутствие пузырьковых ошибок.

Шифратор на основе мультиплексоров [53], имеющий N_{OUT} выходов, состоит из $N_{OUT}-1$ ступеней и задействует

$$N_{MUX} = \sum_{i=1}^{N_{OUT}-1} \left(2^{N_{OUT}-i} - 1 \right)$$

двухвходовых мультиплексоров. Задержка данного шифратора имеет порядок $O(N_{OUT})$. Шифратор на основе мультиплексоров имеет слабую защищенность от пузырьковых ошибок и требует применения дополнительных схем для их коррекции [54, 55].

Схема fat tree состоит из двух ступеней [56]. Первая ступень преобразует термометрический код в унитарный. Вторая ступень преобразует унитарный код в позиционный с использованием набора деревьев, состоящих из элементов "ИЛИ". Выходы деревьев формируют биты позиционного кода. Задержка сигнала в схеме fat tree имеет порядок $O(\log_2 N_{OUT})$. Для надежной работы шифратора на основе схемы fat tree необходимо применение дополнительной схемы коррекции пузырьковых ошибок [57].

Надежного преобразования термометрического кода в позиционный при наличии пузырьковых ошибок позволяет добиться метод определения количества единиц во входном термометрическом коде, т.е. сложения всех битов [1]. В статье [58] описана древовидная структура сумматора битов. На первом уровне выполняется суммирование групп по 6 битов термометрического кода тремя блоками LUT. На следующем уровне аппаратные сумматоры складывают попарно полученные трехбитовые коды и формируют четырехбитовые суммы. На каждом последующем уровне количество суммируемых кодов уменьшается в 2 раза, а разрядность увеличивается на 1 бит. С целью повышения рабочей частоты шифратора реализована конвейеризация путем добавления регистров на выходах сумматоров каждого уровня. Задержка сигнала в схеме имеет порядок $O(\log_2 N_{OUT})$. В статьях [37,59] показано, что применение шифратора на основе сумматора битов позволяет значительно снизить дифференциальную нелинейность ВЦП.

Более эффективным способом суммирования битов является дерево Уоллеса [60], также

применяемое в качестве шифратора ВЦП [24]. Задержка сигнала в схеме дерева Уоллеса имеет порядок $O(\log_{1.5}N_{OUT})$ [56]. Данная схема также может быть конвейеризована путем добавления регистров на выходах сумматоров каждого уровня.

В статье [8] для борьбы с пузырьковыми ошибками предложено использовать блоки LUT ПЛИС. Каждые 5 последовательных выходов линии задержки подаются на два 5-входовых блока LUT. Первый блок LUT предназначен для определения фронта сигнала по комбинации 01111 на входе, а второй — для определения спада по комбинации 11110. В работе [44] используется схожая схема на основе блоков LUT, в которой на один из входов каждого блока подается выход предыдущего. При этом появление 1 на выходе предыдущего LUT блокирует следующий.

Шифратор, предложенный в статье [8], основан на применении операции логическое "ИЛИ" для определения значения каждого бита выходного позиционного кода на основе значений битов входного термометрического кода. При разрядности входного кода 256 битов для получения каждого из 6 выходных битов необходимо выполнить 128-входовую функцию "ИЛИ". Для реализации данной функции в работе [8] реализовано трехуровневое дерево из 27 6-входовых блоков LUT. Данный шифратор имеет высокое быстродействие, что было необходимо в данной работе для обеспечения высокой скорости преобразования 710 МГц.

2.6. Метастабильное состояние

Если изменение значения на входе триггера D происходит в небольшое временное окно до или после фронта сигнала синхронизации C, выход триггера может перейти в метастабильное состояние между 0 и 1. Через некоторое время триггер переходит в одно из стабильных состояний 0 или 1. Поскольку сигнал на входе ВЦП асинхронен тактовому сигналу, при фиксации состояния линии задержки триггеры, расположение которых в ЛЗ соответствует фронту входного сигнала, могут перейти в метастабильное состояние.

Для снижения влияния метастабильного состояния к выходу каждого триггера линии задержки последовательно подключается еще один [61] или два [62] триггера. Однако в работе

[23] отмечается отсутствие влияния метастабильности на работу ВЦП, и поэтому в целях снижения используемых ресурсов дополнительные триггеры не применяются.

2.7. Реализация нониусного метода ВЦП на ПЛИС

Одна из первых реализаций нониусного метода измерения временных интервалов на ПЛИС описана в статье [63]. В качестве генератора импульсов, запускаемого по фронту входного сигнала, выступал кольцевой генератор, реализованный с применением внешней RC-цепи, которая обеспечивала регулировку частоты генератора. В качестве второго генератора применялся внешний кварцевый генератор с частотой 80 МГп.

В статье [9] предложен способ реализации нониусного метода в цифровом виде на ПЛИС без использования внешних элементов. Нониусный метод реализован на базе двух кольцевых генераторов. Период генераторов формировался линиями задержки, длина которых различалась на один элемент. Таким образом разрешение ВЦП определялось задержкой на одном ЭЗ. Поскольку линии задержки, используемые в кольцевых генераторах, значительно короче ЛЗ, применяемых при реализации метода на основе линии задержки, а также не используется шифратор, ВЦП на основе нониусного метода используют значительно меньшее количество ресурсов ПЛИС. Кроме того, реализованный ВЦП имеет низкую нелинейность. Однако ВЦП, основанный на нониусном методе, имеет большое "мертвое" время, которое в работе [9] может составлять до 256 нс. Построение ВЦП, имеющего высокое разрешение, требовало итеративной (около 20-30 итераций) ручной настройки линий задержки, на которых основаны кольцевые генераторы, с использованием осциллографа. В работе [64] авторами более подробно рассмотрен процесс создания ВЦП, предложен алгоритм построения кольцевых генераторов, требующий не более 31 итерации, и реализован 32-канальный ВЦП. По данным, приведенным в статье, можно отметить, что разрешение каналов значительно различается и лежит в диапазоне от 23 до 37 пс. В работе [64] авторы не применяют ручную оптимизацию расположения кольцевых генераторов, что ускоряет реализацию, однако линейность полученного ВЦП

хуже, чем в работе [9]. В статье [65] предложена архитектура ВЦП, названная авторами двунаправленной, включающая два параллельных канала измерения времени на основе нониусного метода. В первом канале входной сигнал подается на кольцевой генератор с большим периодом, а тактовый сигнал — с меньшим. Во втором канале, наоборот, входной сигнал подается на кольцевой генератор с меньшим периодом, а тактовый сигнал — с большим. Данная архитектура позволила улучшить разрешение ВЦП примерно в 1.5 раза.

В статье [66] предложено вместо кольцевого генератора, запускаемого фронтом тактового сигнала, использовать сам тактовый сигнал. Для повышения скорости работы ВЦП используется 4 тактовых сигнала, сдвинутых на 90°, и схема совпадения активируется при совпадении фронта сигнала, генерируемого кольцевым генератором с любым из четырех тактовых сигналов. Данная архитектура позволила значительно уменьшить количество используемых ресурсов ПЛИС по сравнению с предыдущими работами [9, 64, 65].

Характеристики всех рассмотренных реализаций ВЦП на ПЛИС приведены в табл. 1.

3. ЗАКЛЮЧЕНИЕ

На основании данного обзора можно предложить следующие рекомендации по разработке ВЦП на ПЛИС.

- 1. Перед началом разработки необходимо определить требования к характеристикам ВЦП (количество каналов, разрешение, погрешность, нелинейность, диапазон измерений и "мертвое" время). Если характеристики коммерчески доступных микросхем ВЦП не удовлетворяют требованиям задачи, рекомендуется в первую очередь рассмотреть возможность реализации требуемого ВЦП на базе ПЛИС, так как она имеет значительно более низкую стоимость по сравнению с созданием ВЦП на базе ИССН, а также требует меньше временных и трудовых затрат, при этом обеспечивая сравнимые характеристики ВЦП.
- 2. Для реализации ВЦП на ПЛИС существуют три основных метода. Наиболее распространенным и оптимальным для большинства задач является метод на основе линии задержки. Данный метод реализуется напрямую на ресурсах современных ПЛИС при использовании цепи

Таблица 1. Характеристики рассмотренных реализаций ВЦП на ПЛИС

Статья	Метод	ПЛИС;	Вари-	EMP	СКО	ДНЛ		инл		Макс.
ГОД	Метод	техпроцесс	ант	пс	пс	отн., ЕМР	абс., пс	отн., ЕМР	абс., пс	врем. инт-л
[19] 1997	длз	QuickLogic pASIC; 0.65 мкм	_	200	_	[-0.47; 0.44]	[-94; 88]	[-0.2; 1.28]	[-40; 256]	10 нс
[25] 2000	длз	QuickLogic pASIC2; 0.65 мкм	_	110	70	1.88	207	1.78	196	43 c
[26] 2002	лз	Virtex; 0.22 мкм	_	150	_	_	_	_	_	21 мс
[27] 2009	лз	Cyclone II; 90 нм	_	315	153	_	_	_	_	2.6 мкс
	лз	Spartan-6; 45 нм	_	210	_	_	_	_	_	_
[28]		Artix-7; 28 нм	_	100	_	_	_	_	_	_
2013		Kintex-7; 28 нм	_	50	_		_	_	_	_
		Virtex-7; 28 нм	_	50	_	-	_	_	_	_
[20] 2003	лз	ACEX 1K; 0.22 мкм	_	400	120	-	_	_	_	_
[38] 2004	лз	Virtex; 0.22 мкм	_	500	_	[-0.1; 0.06]**	[-48.5; 31.6]**	[-0.1; 0.08]**	[-48.7; 39.8]**	_
[39] 2010	лз	Virtex-I Pro; 130 нм	1 ЛЗ	27	_	[-1; 2]	[-27; 54]*	[-3; 4]	[-81; 108]*	6.6 нс
2010	МЛЗ	130 HM	10 ЛЗ	10	24	[-1; 2.5]	[-10; 25]*	[-2.5; 5.5]	[-25; 55]*	
[40] 2013	ЛЗ	Spartan-6; 45 нм	1 ЛЗ	18.38		[-1; 1.5]**	[-18.3; 27.6]**	[-0.12; 0.12]	[-2.2; 2.2]	10 c
	МЛЗ		16 ЛЗ	1.14	6	[-1; 6.75]	[-1.1; 7.7]	[-0.12; 0.12]	[-0.14; 0.14]	
[24]	Л3 МФ	Cyclone II; 90 нм	_	60	40	[-0.69; 1.65]**	[-41.4; 99.5]**	[-1.05; 0.80]**	[-63.4; 48.3]**	
[34] 2008			WU A	30	25	[-1; 1.34]**	[-28.9; 38.6]**	[-2.01; 1.57]**	[-58.2; 45.4]**	_
			WU B	2.44	10	_	_	_	_	
[8] 2015	MФ (WU A)	Kintex-7; 28 нм	_	10.8	8.7	[-0.96; 2.26]**	[-10.3; 24.2]**	[-0.15; 4.23]**	[-1.6; 45.4]**	360 нс
[41] 2015	MФ (WU A)	Kintex-7; 28 нм	_	17.6	12.7	[-1; 0.84]**	[-17.6; 14.8]**	[-0.82; 0.86]**	[-14.4; 15.1]**	_
[42] 2016	лз	Kintex UltraScale; 20 нм	_	3.29	4.2	[-1; 2.96]**	[-3.3; 9.7]**	[-1.63; 1.96]**	[-5.36; 6.45]**	_
[43] 2016	лз	Kintex UltraScale; 20 нм	_	4.5	3.7	[-1; 2.04]**	[-4.5; 9.2]**	_	_	_
[44] 2013	МФ	Spartan-6; 45 HM	_	2.7	8	[-1; 4.38]**	[-2.7; 11.8]**	[-8.58; 10.40]	[-23.2; 28.1]*	1 c
[45] 2014	млз мФ	Spartan-6; 45 HM	_	0.92		2.91	2.67*	15.7	14.44*	0.4 нс
[46] 2016	млз мф	Spartan-6; 45 HM	_	0.92	6	[-1; 6.17]**	[-0.92; 5.68]**	[-26.2; 11.5]	[-24.1; 10.6]*	2 c
[47] 2019	SuperWU	Artix-7; 28 нм	_	2	9.7	_	_	2.1*	4.2	0.2 мс

Таблица 1. (продолжение)

Статья	Метод	ПЛИС; техпроцесс	Вари-	_		днл		инл		Макс. врем.
год			ант	пс	пс	отн., ЕМР	абс., пс	отн., ЕМР	абс., пс	врем. инт-л
[48] 2018	WU A		1 ЛЗ	18.1	7.6	_	_	_	_	_
	SuperWU	Virtex-5; 65 нм	2 ЛЗ	9.2	6.5	_	_	_	_	_
	Super w C		4 ЛЗ	4.6	7.7	_	_	_	_	_
	WU A		1 ЛЗ	8.0**	6.3**	_	_	_	_	_
	SuperWU	Artix-7; 28 нм	6 ЛЗ	1.3**	3.6**	_	_	_	_	_
			8 ЛЗ	0.9**	3.7**	_	_	_	_	_
	RippleWU	Virtex-5; 65 нм	_	5.4	6.5	_	_	_	_	_
[49] 2019	SuperWU	Kintex UltraScale; 20 нм	_	0.3	8.5	[-1; 62.6]**	[-0.3; 19.1]**	_	_	10 мкс
	ЛЗ	UltraScale+; 16 нм	1 ЛЗ	1.9	7.3	[-1.0; 5.5]	[-1.9; 10.3]	[-24.0; 8.2]	[-45.2; 15.3]	
	113		1 ДЛЗ	4.2	6.5	[-0.9; 1.9]	[-3.9; 7.9]	[-6.4; 2.2]	[-26.7; 9.3]	
[50] 2023			2 ДЛЗ	4.2	_	[-0.8; 0.5]	[-3.3; 2.0]	[-1.7; 2.2]	[-7.1; 9.2]	42 мс
	млз		3 ДЛЗ	4.2	5.9	[-0.6; 0.2]	[-2.7; 0.8]	[-0.2; 2.3]	[-0.7; 9.8]	
			4 ДЛЗ	4.2	_	[-0.6; 0.1]	[-2.6; 0.4]	[-1.0; 1.2]	[-4.3; 5.1]	
[51] 2019	млз	Cyclone V; 28 нм	_	1.56	2.3	[-1; 5.74]**	[-1.6; 9.0]**	[-8.64; 36.8]**	[-13.5; 57.4]**	0.13 мс
[11] 2016	лз	Kintex-7; 28 нм	_	10.6	8.13	[-1; 1.45]	[-10.6; 15.4]*	[-1.23; 4.30]	[-13.0; 45.6]*	_
		Virtex-6; 40 нм	_	10.1	9.82	[-1; 1.18]	[-10.1; 11.9]*	[-3.03; 2.46]	[-30.6; 24.8]*	_
		Spartan-6; 45 нм	_	16.7	12.75	[-1; 1.22]	[-16.7; 20.4]*	[-0.70; 2.54]	[-11.7; 42.4]*	_
[37] 2022	лз	Virtex-6; 40 нм	CCCC	10	7.8	0.77	7.7*	1.57	15.7*	_
			CCCN	13.33	9.2	0.62	8.3*	0.65	8.7*	_
			CNCN	20	9.0	0.30	6*	0.45	9*	_
			NNNC	40	8.4	0.50	20*	0.69	27.6*	_
			SSSS	10	7.4	0.67	6.7*	2.94	29.4*	_
			SSSN	13.33	6.0	0.53	7.1*	1.39	18.5*	_
			SNSN	20	7.8	0.37	7.4*	1.06	21.2*	_
			NNSN	40	7.2	0.38	15.2*	0.77	30.8*	_
			SCCC	10	5.5	0.55	5.5*	1.99	19.9*	_
			CSCN	13.33	8.13	0.70	9.3*	0.59	7.9*	_
			NSCN	20	6.0	0.49	9.8*	0.46	9.2*	_
[63] 2004	Н	Spartan-XL; 0.35 мкм	_	250	-	_	_	_	_	_
[9] 2017	Н	Stratix III; 65 нм	_	31	36	[-0.08; 0.07]	[-2.5; 2.2]*	[-0.09; 0.09]	[-2.8; 2.8]*	1.7 мкс
[64] 2017	Н	Stratix III; 65 нм	_	37	39	[-0.4; 0.4]	[-14.8; 14.8]*	[-0.7; 0.7]	[-25.9; 25.9]*	_

Статья год	Метод	ПЛИС; техпроцесс	Вари-	ЕМР,	СКО,	ДНЛ		ИНЛ		Макс.
						отн., ЕМР	абс., пс	отн., ЕМР	абс., пс	врем. инт-л
[65] 2020	Н	Stratix III; 65 нм	_	24.5	28	[-0.2; 0.25]	[-4.9; 6.1]*	[-0.03; 0.82]	[-0.7; 20]*	_
[66] 2022	Н	Artix-7; 28 нм	_	20	21	[-0.71; 0.06]	[-14.2; 1.2]*	[0; 1.04]	[0; 20.8]*	_
		Kintex-7:		20	20		F 10 0 1 23*	50 0041	FO 10 03*	

Таблица 1. (окончание)

 Π римечание. ЛЗ — метод на основе линии задержки, МЛЗ — метод на основе множества линии задержки, М Φ — метод на основе множества фронтов, ДЛЗ – нониусный метод на основе двух линии задержки, Н – нониусный метод, * – вычисленные значения, – определено по графикам.

[-0.51; 0.06]

20

20

 $[-10.2; 1.2]^*$

переноса разряда, что обеспечивает достаточно высокое разрешение ВЦП (несколько десятков пикосекунд). Важным преимуществом метода на основе линии задержки является малое "мертвое" время. Однако неоднородность линии задержки, реализованной на ресурсах ПЛИС, вносит значительную нелинейность (порядка 1 ЕМР). Кроме того, для реализации линии задержки, содержащей обычно порядка 100 элементов, и шифратора требуется достаточное большое количество ресурсов ПЛИС.

28 нм

Нониусный метод с использованием двух генераторов использует меньше аппаратных ресурсов, имеет низкую нелинейность, однако серьезным ограничением данного метода является большое "мертвое" время, которое может составлять сотни наносекунд.

Нониусный метод с использованием двух линий задержки не получил распространения на современных ПЛИС в связи с отсутствием на них ресурсов, подходящих для реализации двух параллельных ЛЗ с немного различающейся задержкой.

- 3. При необходимости повышения разрешения можно рассмотреть реализацию нескольких параллельных ЛЗ с формированием эквивалентной линии задержки. Данный метод позволяет добиться высокого разрешения около 1 пс, однако требует значительных аппаратных затрат. Для снижения аппаратных затрат рекомендуется реализовать метод генерации последовательности из двух (Wave Union A) или более (RippleWU) фронтов на каждый фронт входного сигнала. Также можно использовать комбинацию данных методов (SuperWU).
- 4. Для компенсации влияния температуры и напряжения на задержку элементов ЛЗ

и получения корректных результатов измерений необходимо во время работы ВЦП периодически (каждые несколько секунд) выполнять его калибровку. Кроме того, калибровка позволяет снизить нелинейность ВЦП. Для большинства задач следует использовать метод статистической калибровка. Также для снижения нелинейности может быть использован метод децимации бинов, позволяющий отказаться от статистической калибровки и уменьшить количество используемых ресурсов ПЛИС, однако этот метод снижает разрешение ВЦП. Для компенсации температурной зависимости при использовании метода децимации бинов рекомендуется применять калибровку на основе сигнала эталонной частоты.

[0: 0.94]

[0: 18.81*

- 5. Для увеличения диапазона измерений следует применять метод Натта.
- 6. При реализации ВЦП на новых ПЛИС, изготовленных по техпроцессу 20 нм и менее (таких как UltraScale), в связи с высокой неоднородностью линии задержки особое внимание нужно уделять проблемам высокой нелинейности и наличия пузырьковой ошибки.
- 7. Для решения проблемы наличия пузырьковых ошибок в термометрическом коде на выходе линии задержки рекомендуется применить метод перестановки бинов. Также проблему пузырьковой ошибки позволяет решить применение сумматора битов на основе дерева Уоллеса в качестве шифратора, однако данный метод имеет невысокую скорость работы и требует значительных аппаратных затрат.
- 8. При разработке ВЦП на ПЛИС первоначально длина линии задержки определяется приблизительно на основании периода тактового сигнала и величины задержки на одном

элементе. Более точное значение требуемой длины определяется исходя из гистограммы, полученной при калибровке на основе номера последнего ненулевого бина. Длина линии задержки должна быть установлена немного больше полученного значения (примерно на 10%), чтобы ЛЗ сохраняла работоспособность в случае уменьшения задержки на элементе при изменении температуры или напряжения питания. Если при калибровке ненулевые бины доходят до конца гистограммы, необходимо увеличить длину линии задержки и повторить процедуру.

9. Для снижения количества используемых ресурсов ПЛИС рекомендуется уменьшать длину линии задержки. Этого можно достичь путем повышения частоты тактового сигнала. Если достигнута максимально возможная тактовая частота, также можно для уменьшения длины ЛЗ применить генерацию нескольких тактовых сигналов, сдвинутых по фазе, и проводить фиксацию состояния линии задержки по фронту того тактового сигнала, который возникает сразу после фронта входного сигнала.

СПИСОК ЛИТЕРАТУРЫ

- 1. *Henzler S.* // Time-to-digital converters. Dordrecht: Springer. 2010. 123 p.
- 2. Gao Wu, Gao Deyuan, Wei Tingcun, Hu-Guo C., Yann Hu // 2009 4th IEEE Conference on Industrial Electronics and Applications. Xian, China: IEEE. 2009. P. 1133. https://doi.org/10.1109/ICIEA.2009.5138334
- 3. Yuvaraj E., Upadhya S.S., Saraf M.N., John J., Satyanarayana B., Majumder G., Chithra // J. Phys.: Conf. Ser. 2022. V. 2374. № 1. P. 012095. https://doi.org/10.1088/1742-6596/2374/1/012095
- Иосупалиев У., Радомский Н.В., Коковин В.А., Шутеев С.А., Юсупалиев П.У. // ПТЭ. 2008. № 1. С. 174
- 5. *Maatta K., Kostamovaara J.* // IEEE Trans. Instrum. Meas. 1998. V. 47. № 2. P. 521. https://doi.org/10.1109/19.744201
- 6. Staszewski R.B., Muhammad K., Leipold D., Chih-Ming Hung, Yo-Chuol Ho, Wallberg J.L., Fernando C., Maggio K., Staszewski R., Jung T., Jinseok Koh, John S., Irene Yuanying Deng, Sarda V., Moreira-Tamayo O. et al. // IEEE J. Solid-State Circuits. 2004. V. 39. № 12. P. 2278. https://doi.org/10.1109/JSSC.2004.836345
- 7. Staszewski R.B., Vemulapalli S., Vallur P., Wallberg J., Balsara P.T. // IEEE Trans. Circuits Syst. II. 2006. V. 53. № 3. P. 220. https://doi.org/10.1109/TCSII.2005.858754

- 8. *Liu C., Wang Y.* // IEEE Trans. Nucl. Sci. 2015. V. 62. № 3. P. 773. https://doi.org/10.1109/TNS.2015.2421319
- 9. *Cui K., Ren Z., Li X., Liu Z., Zhu R.* // IEEE Trans. Nucl. Sci. 2017. V. 64. № 1. P. 697. https://doi.org/10.1109/TNS.2016.2632168
- 10. 10. *Machado R., Cabral J., Alves F.S.* // IEEE Trans. Instrum. Meas. 2019. V. 68. № 11. P. 4205. https://doi.org/10.1109/TIM.2019.2938436
- 11. *Won J.Y., Lee J.S.* // IEEE Trans. Instrum. Meas. 2016. V. 65. № 7. P. 1678. https://doi.org/10.1109/TIM.2016.2534670
- 12. *Kalisz J., Pawlowski M., Pelka R.* // J. Phys. E: Sci. Instrum. 1987. V. 20. № 11. P. 1330. https://doi.org/10.1088/0022-3735/20/11/005
- 13. *Kalisz J.* // Metrologia. 2004. V. 41. № 1. P. 17. https://doi.org/10.1088/0026-1394/41/1/004
- 14. *Лютиков И.В.*, *Фомин А.Н.*, *Леусенко В.А*. Метрология и радиоизмерения: учебник / Под ред. Д.С. Викторова, Красноярск: Сиб. федер. университет, 2016.
- 15. *Baron R.* // Proc. IRE. 1957. V. 45. № 1. P. 21. https://doi.org/10.1109/JRPROC.1957.278252
- Hoppe D.R. Time interpolator: pat. US4439046A USA. 1984.
- 17. *Hoppe D.R.* Differential time interpolator: pat. US4433919A USA. 1984.
- Nutt R. // Review of Scientific Instruments. 1968.
 V. 39. № 9. P. 1342. https://doi.org/10.1063/1.1683667
- 19. *Kalisz J., Szplet R., Pasierbinski J., Poniecki A.* // IEEE Trans. Instrum. Meas. 1997. V. 46. № 1. P. 51. https://doi.org/10.1109/19.552156
- Jinyuan Wu, Zonghan Shi, Wang I.Y. // IEEE Nuclear Science Symposium. Conference Record (IEEE Cat. No.03CH37515). Portland, OR, USA: IEEE. 2003. P. 177. https://doi.org/10.1109/NSSMIC.2003.1352025
- 21. *Pelka R., Kalisz J., Szplet R.* // Proceedings of 20th Biennial Conference on Precision Electromagnetic Measurements. Braunschweig, Germany: IEEE. 1996. P. 548. https://doi.org/10.1109/CPEM.1996.547342
- 22. *Wu J.* // IEEE Trans. Nucl. Sci. 2010. V. 57. № 3. P. 1543. https://doi.org/10.1109/TNS.2010.2045901
- 23. *Traxler M.* // 17th IEEE-NPSS Real Time Conference. Lisbon, Portugal: IEEE. 2010. P. 1. https://doi.org/10.1109/RTC.2010.5750361
- 24. Carra P., Bertazzoni M., Bisogni M.G., Del Guerra A., Morrocchi M., Pazzi G., Sportelli G., Belcari N. // IEEE Nuclear Science Symposium and Medical Imaging Conference (NSS/MIC). Atlanta, GA: IEEE. 2017. P. 1. https://doi.org/10.1109/NSSMIC.2017.8533060

- Instrum. Meas. 2000. V. 49. № 4. P. 879. https://doi.org/10.1109/19.863942
- 26. Andaloussi M.S., Boukadoum M., Aboulhamid E.M. // The 14th International Conference on Microelectronics. Beirut, Lebanon: IEEE. 2002. P. 123. https://doi.org/10.1109/ICM-02.2002.1161511
- 27. Чулков В.А., Медведев А.В. // ПТЭ. 2009. № 6. С. 31.
- 28. Чулков В.А., Нестеренко С.А. // ХХІ век: итоги прошлого и проблемы настоящего плюс. 2013. № 10. C. 176.
- 29. Xilinx. Virtex-5 FPGA User Guide (UG190). 2012.
- 30. Xilinx. Spartan-6 FPGA Configurable Logic Block User Guide (UG384). 2010.
- 31. Xilinx. 7 Series FPGAs Configurable Logic Block User Guide (UG474). 2016.
- 32. Garzetti F., Corna N., Lusardi N., Geraci A. // IEEE Access. 2021. V. 9. P. 85515. https://doi.org/10.1109/ACCESS.2021.3088448
- 33. UltraScale Architecture Configurable Logic Block User Guide (UG574). 2017.
- 34. Wu J., Shi Z. // 2008 IEEE Nuclear Science Symposium Conference Record. 2008. P. 3440.
- 35. Hu X., Zhao L., Liu S., Wang J., An Q. // IEEE Trans. Nucl. Sci. 2013. V. 60. № 5. P. 3544. https://doi.org/10.1109/TNS.2013.2265555
- 36. Chen H., Li D.D.-U. // IEEE Trans. Ind. Electron. 52. Palani L., Rajagopal S., Ramana Rao Y.V. // Micro-2019. V. 66. № 4. P. 3265. https://doi.org/10.1109/TIE.2018.2842787
- 37. Dikopoulos E., Birbas M., Birbas A. // Chips. 2022. V. 1. № 3. P. 175. https://doi.org/10.3390/chips1030012
- 38. Zieliński M., Chaberski D., Kowalski M., Frankowski R., Grzelak S. // Measurement. 2004. V. 35. № 3. P. 311. https://doi.org/10.1016/j.measurement.2003.12.001
- 39. Daigneault M.-A., David J.P. // Proceedings of the 8th IEEE International NEWCAS Conference 2010. Montreal, QC, Canada: IEEE. 2010. P. 281. https://doi.org/10.1109/NEWCAS.2010.5603945
- 40. Szplet R., Jachna Z., Kwiatkowski P., Rozyc K. // Meas. Sci. Technol. 2013. V. 24. № 3. P. 035904. https://doi.org/10.1088/0957-0233/24/3/035904
- 41. Wang Y., Liu C. // IEEE Trans. Nucl. Sci. 2015. V. 62. № 5. P. 2003. https://doi.org/10.1109/TNS.2015.2475630
- 42. Wang Y., Liu C. // IEEE Trans. Nucl. Sci. 2016. V. 63. № 5. P. 2632. https://doi.org/10.1109/TNS.2016.2606627
- 43. Wang Y., Liu C. // IEEE Trans. Nucl. Sci. 2016. V. 63. № 5. P. 2617. https://doi.org/10.1109/TNS.2016.2596305
- 44. Szplet R., Sondej D., Grzeda G. // Joint European Frequency and Time Forum & International Frequency Control Symposium (EFTF/IFC). Prague, Czech Republic: IEEE. 2013. P. 321. https://doi.org/10.1109/EFTF-IFC.2013.6702285

- 25. Szplet R., Kalisz J., Szymanowski R. // IEEE Trans. 45. Sondej D., Szplet R. // 24th International Conference on Field Programmable Logic and Applications (FPL). Munich, Germany: IEEE. 2014. P. 1. https://doi.org/10.1109/FPL.2014.6927382
 - 46. Szplet R., Sondej D., Grzeda G. // IEEE Trans. Instrum. Meas. 2016. V. 65. № 8. P. 1884. https://doi.org/10.1109/TIM.2016.2555218
 - 47. Lusardi N., Garzetti F., Geraci A. // Review of Scientific Instruments. 2019. V. 90. № 5. P. 055113. https://doi.org/10.1063/1.5028131
 - 48. Lusardi N., Garzetti F., Geraci A. // Nuclear Instruments and Methods in Physics Research Section A: Accelerators, Spectrometers, Detectors and Associated Equipment. 2019. V. 916. P. 204. https://doi.org/10.1016/j.nima.2018.11.100
 - 49. Lusardi N., Garzetti F., Corna N., Marco R.D., Geraci A. // 2019 IEEE Nuclear Science Symposium and Medical Imaging Conference (NSS/MIC). Manchester, United Kingdom: IEEE. 2019. P. 1. https://doi.org/10.1109/NSS/MIC42101.2019.9059958
 - 50. Kim J., Jung J.H., Choi Y., Jung J., Lee S. // Nuclear Engineering and Technology. 2023. V. 55. № 2. P. 484. https://doi.org/10.1016/j.net.2022.10.010
 - 51. Sui T., Zhao Z., Xie S., Xie Y., Zhao Y., Huang Q., Xu J., Peng Q. // IEEE Trans. Instrum. Meas. 2019. V. 68. № 10. P. 3647. https://doi.org/10.1109/TIM.2018.2880940
 - processors and Microsystems. 2020. V. 73. P. 102974. https://doi.org/10.1016/j.micpro.2019.102974
 - Sail E., Vesterbacka M. // 2004 IEEE Region 10 Conference TENCON 2004. Chiang Mai, Thailand: IEEE. 2004. P. 250. https://doi.org/10.1109/TENCON.2004.1414916
 - 54. Bui Van Hieu, Seunghyun Beak, Seunghwan Choi, Jongkook Seon, Jeong T.T. // International Conference on Communications and Electronics 2010. Nha Trang: IEEE. 2010. P. 102. https://doi.org/10.1109/ICCE.2010.5670690
 - 55. Latha P., Dr. R. Sivakumar, I. P. Pavithra // International Journal of Engineering and Techniques. 2018. V. 4. № 3. P. 7
 - 56. Daegyu Lee, Jincheol Yoo, Kyusun Choi, Ghaznavi J. // 45th Midwest Symposium on Circuits and Systems, 2002. MWSCAS-2002. Tulsa, OK, USA: IEEE. 2002. V. 2. P. II-87. https://doi.org/10.1109/MWSCAS.2002.1186804
 - 57. Shen Q., Zhao L., Liu S.-B., Liao S.-K., Qi B.-X., Hu X.-Y., Peng C.-Z., An Q. // Chinese Phys. C. 2013. V. 37. № 10. P. 106102. https://doi.org/10.1088/1674-1137/37/10/106102
 - 58. Wang Y., Kuang J., Liu C., Cao Q. // IEEE Trans. Nucl. Sci. 2017. V. 64. № 10. P. 2713. https://doi.org/10.1109/TNS.2017.2746626
 - 59. Tontini A., Gasparini L., Pancheri L., Passerone R. // IEEE Trans. Nucl. Sci. 2018. V. 65. № 2. P. 680. https://doi.org/10.1109/TNS.2018.2790703

- 60. *Kaes F., Kanan R., Hochet B., Declercq M.* // IEEE International Symposium on Circuits and Systems (ISCAS). Hong Kong, China: IEEE. 1997. V. 1. P. 5.
- 61. *Adamic M., Trost A.* // Austrochip Workshop on Microelectronics (Austrochip). Vienna, Austria: IEEE. 2019. P. 29. https://doi.org/10.1109/Austrochip.2019.00017
- 62. Favi C., Charbon E. // Proceedings of the ACM/SIGDA international symposium on Field programmable gate arrays. Monterey California USA: ACM. 2009. P. 113. https://doi.org/10.1145/1508128.1508145
- 63. Гурин Е.И., Дятлов Л.Е., Коннов Н.Н., Попов К.В., Севастьянов А.В. // ПТЭ. 2004. № 4. С. 44.
- 64. *Cui K., Li X., Liu Z., Zhu R.* // IEEE Trans. Radiat. Plasma Med. Sci. 2017. V. 1. № 5. P. 391. https://doi.org/10.1109/TRPMS.2017.2712260
- 65. *Cui K., Li X.* // IEEE Trans. Instrum. Meas. 2020. V. 69. № 8. P. 5941. https://doi.org/10.1109/TIM.2019.2959423
- 66. *Xu G., Zha B., Xia T., Zheng Z., Zhang H.* // Applied Sciences. 2022. V. 12. № 15. P. 7674. https://doi.org/10.3390/app12157674